





**BERITA ACARA PERKULIAHAN  
(PRESENTASI KEHADIRAN DOSEN)  
SEMESTER GANJIL TAHUN AKADEMIK 2022/2023  
PROGRAM STUDI TEKNIK MESIN S1 -ISTN**

Mata Kuliah : Dinamika Teknik	Semester : Ganjil
Dosen : Ir.Ucok Mulyo Sugeng,MT	SKS : 2
Hari : Sabtu	Kelas : A/Reguler
Jam : 08.30-10.10. Wib.	Ruang : Online

No.	TANGGAL	MATERI KULIAH	JML MHS HADIR	TANDA TANGAN DOSEN
1	Sabtu 25 Maret 2023	Ruang dan Gerak	4	
2	Sabtu 01 April 2023	Gaya	4	
3	Sabtu 8 April 2023	Transmisst gaya pada mekanisme mesin	4	
4	Sabtu 15 April 2023	Gaya Inersia pada mesin	4	
5	Sabtu 21 April 2023	Aplikasi pada mesin penyerut	4	
6	Sabtu 27 Mei 2023	Aplikasi pada mekanisme Mesin Powel	4	
7	Sabtu 2 Mei 2023	Aplikasi Mesin serut kecepatan dan Percepatan	4	
8		<b>Ujian Tengah Semester</b>	4	

DOSEN PENGAJAR



(Ir. Ucok Mulyo SugengMT)



**BERITA ACARA PERKULIAHAN**  
(PRESENTASI KEHADIRAN DOSEN)  
SEMESTER GANJIL TAHUN AKADEMIK 2022/2023  
PROGRAM STUDI TEKNIK MESIN S1 -ISTN

Mata Kuliah : Dinamika Teknik	Semester : Ganjil
Dosen : Ir.Ucok Mulyo Sugeng,MT	SKS : 2
Hari : Sabtu	Kelas : A/Reguler
Jam : 08.30-10.10. Wib.	Ruang : Online

No.	TANGGAL	MATERI KULIAH	JML MHS HADIR	TANDA TANGAN DOSEN
09	Sabtu 4 Juni 2023	Dasar hukum Gearing Nomen kultural Digital	4	
10	Jum`at 10 Juni 2023	Interferensi dab Undercutting Contak rasio	4	
11	Sabtu 17 Juni 2023	Momen Pusat Massa Gravitasi	4	
12	Sabtu 24 Juni 2023	Analisa Gaya Ginamis	4	
13	Sabtu 01 Juli 2023	Analisa Kinematik dan Dinamika Mesin	4	
14	Sabtu 08 Juli 2023	Asumsi yg dipakai pada teori Keetik gas	4	
15	Sabtu 15 Juli 2023	Gaya Getaran	4	
16		<b>UJIAN AKHIR SEMESTER (UAS)</b>	4	

DOSEN PENGAJAR

(Ir. Ucok Mulyo SugengMT)



# Dinamika Teknik

## Gaya Inersia pada Mesin

04

FTI

Teknik Mesin

Ir. Ucok Mulyo Sugeng, MT



## GAYA INERSIA PADA MESIN

### Introduksi

Menurut hukum Newton kedua, apabila pada benda dengan massa  $m$  bekerja gaya sebesar  $F$ , maka akan diikuti sebagai akibatnya akan muncul percepatan sebesar  $a$ . Hubungan ketiga variabel tersebut memenuhi persamaan

$$F = m \cdot a$$

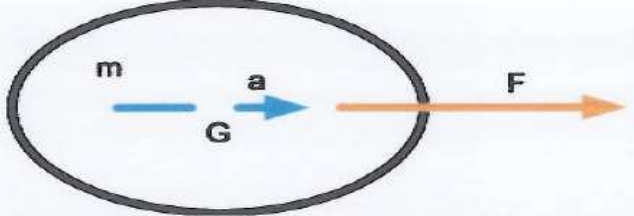
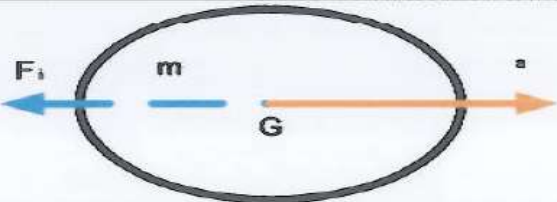
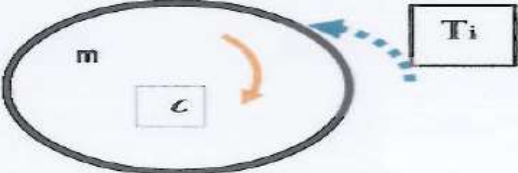
Dalam hal ini percepatan (akibat) searah dengan gaya (penyebab).

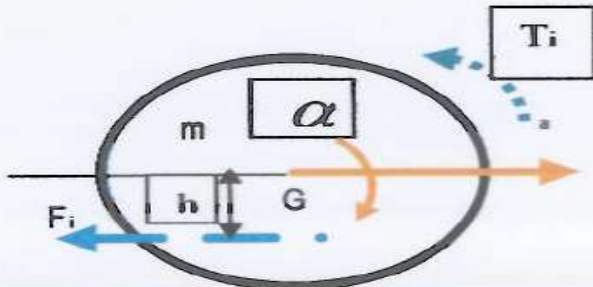
Tapi bila yang muncul terlebih dulu percepatan (ingat perubahan kecepatan), maka sebagai akibat muncul gaya, yang dikenal dengan gaya inersia yang arahnya berlawanan dengan arah percepatan seperti persamaan berikut :

$$F_i = -m \cdot a$$

$F_i$  = gaya inersia

Tanda negatif (-) menunjukkan arah gaya inersia (akibat) berlawanan dengan percepatan (penyebab)

	Bila pada massa $m$ bekerja gaya $F$ , maka akan muncul percepatan sebesar $a$ (gerak lurus). Besar gaya $F = m \cdot a$ (Hk Newton II)
	Bila pada massa $m$ terjadi perubahan kecepatan (gerak lurus), atau muncul percepatan $a$ , maka sebagai akibatnya timbul gaya inersia yang arahnya selalu berlawanan dengan $a$ . Besar gaya inersia $F_i = -m \cdot a$
	Bila pada massa terjadi percepatan sudut $\alpha$ (gerak putar), maka sebagai akibat akan muncul Torsi Inersia yang berlawanan arah $\alpha$ . $T_i = -I \cdot \alpha$ $I = \text{Momen Inersia}$ $I = m r^2$ $r = \text{jari-jari girasi}$



Jika pada benda muncul percepatan linear  $a$  dan percepatan sudut  $\alpha$  secara bersamaan (gerak sembarang), maka sebagai akibatnya akan terjadi gaya inersia dan Torsi Inersia secara bersamaan. Namun terjadi kesetimbangan antara torsi dengan gaya inersia. Konsekuensinya terjadi pergeseran garis kerja gaya inersia sebesar  $h$ , yang memenuhi kesetimbangan :

$$T_i = F_i \cdot h$$

$$I \cdot \alpha = F_i \cdot h$$

$$\text{Sehingga : } h = \frac{Ix\alpha}{F_i} = \frac{Ix\alpha}{m \cdot a}$$

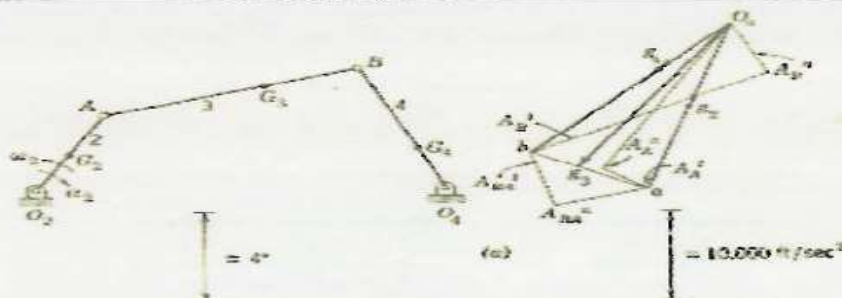
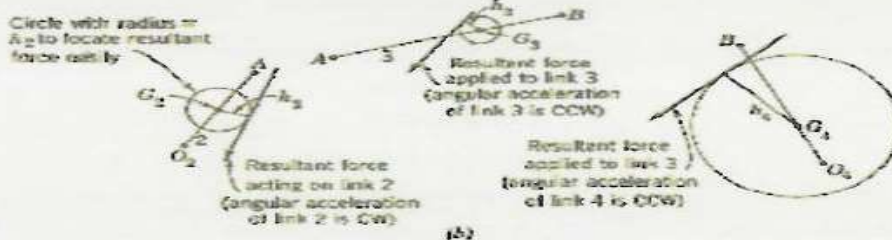
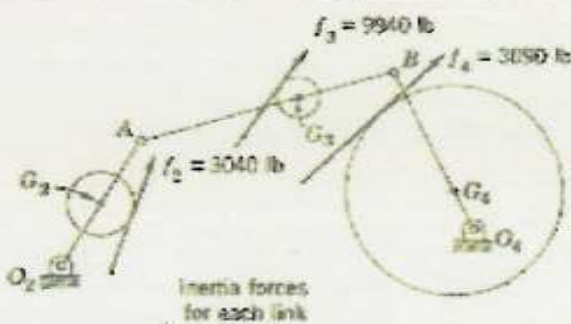


Fig. 13.6a. Acceleration polygons of a four-link mechanism.

$$\begin{aligned}\alpha_1 &= 12,000 \text{ rad/sec}^2 \text{ cw} \\ \alpha_2 &= 9,300 \text{ rad/sec}^2 \text{ cw} \\ \alpha_3 &= 10,000 \text{ rad/sec}^2 \text{ ccw} \\ A_{p1} &= 9,800 \text{ ft/sec}^2 \\ A_{p2} &= 20,000 \text{ ft/sec}^2 \\ A_{p3} &= 7,100 \text{ ft/sec}^2\end{aligned}$$





(c)

Fig. 13.4c.

*Mass moment of inertia of each link*

*Weight of each link:* about its center of gravity:

$$W_2 = 10 \text{ lb} \quad I_2 = 0.020 \text{ lb-sec}^2 \cdot \text{ft}$$

$$W_3 = 16 \text{ lb} \quad I_3 = 0.050 \text{ lb-sec}^2 \cdot \text{ft}$$

$$W_4 = 14 \text{ lb} \quad I_4 = 0.025 \text{ lb-sec}^2 \cdot \text{ft}$$

*Inertia force of each link:*

$$f_2 = M_2 A_{g2} = \frac{10}{32.2} (9800) = 3040 \text{ lb}$$

$$f_3 = M_3 A_{g3} = \frac{16}{32.2} (20,000) = 9940 \text{ lb}$$

$$f_4 = M_4 A_{g4} = \frac{14}{32.2} (7100) = 3080 \text{ lb}$$

*Distance of inertia force*

*from the center of gravity:*

$$h_2 = \frac{I_{2g2}}{M_2 A_{g2}} = \frac{(0.020)(12,000)}{\left(\frac{10}{32.2}\right)(9800)} = 0.0788 \text{ ft}$$

$$h_3 = \frac{I_{3g3}}{M_3 A_{g3}} = \frac{(0.050)(9300)}{\left(\frac{16}{32.2}\right)(20,000)} = 0.0493 \text{ ft}$$

$$h_4 = \frac{I_{4g4}}{M_4 A_{g4}} = \frac{(0.025)(40,000)}{\left(\frac{14}{32.2}\right)(7100)} = 0.324 \text{ ft}$$

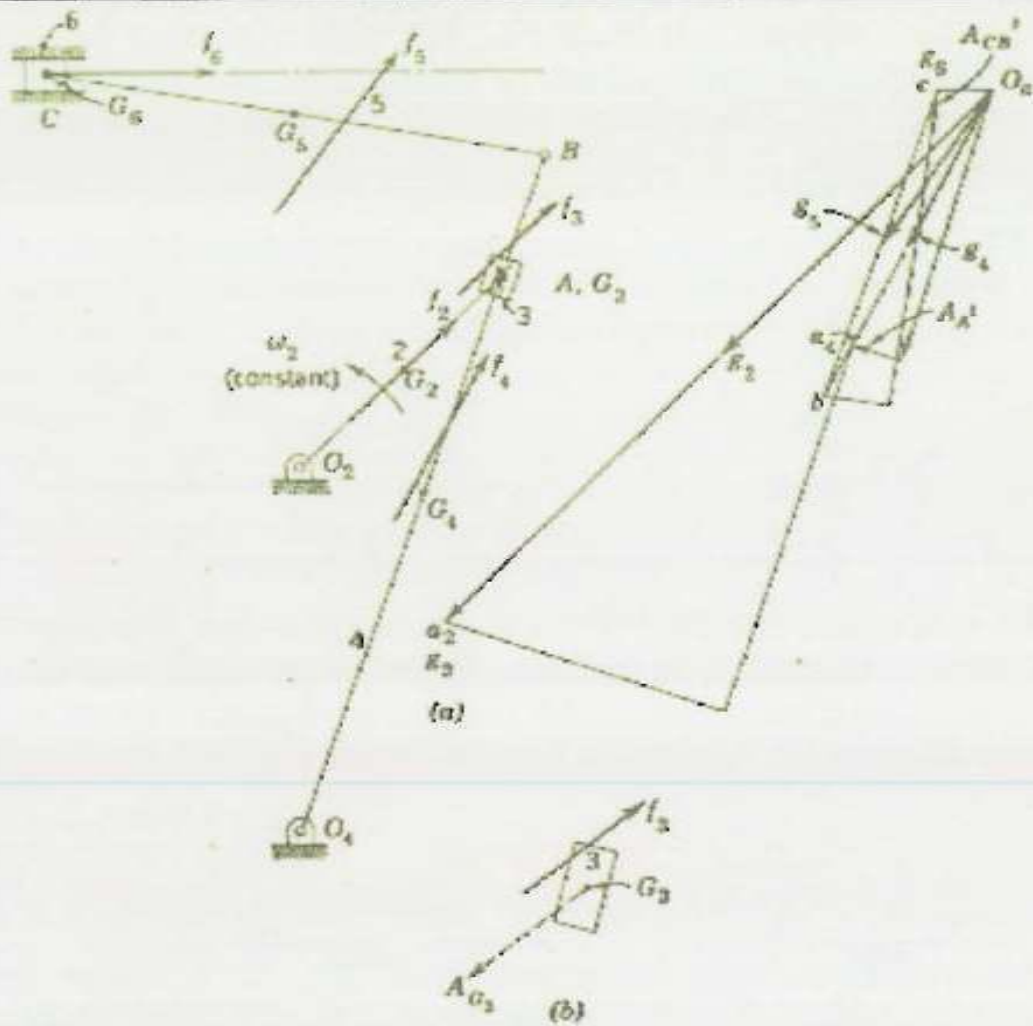


Fig. 13.5. Inertia forces of the shaper quick-return mechanism. (a)  $\alpha_2 = 0$ ;  $\alpha_3 = \alpha_4$  (ccw);  $\alpha_5$  ccw;  $\alpha_6 = 0$ . (b)  $\alpha_1 = \alpha_4$  (ccw);  $f_1 = M_3 A_{G_3}$ .

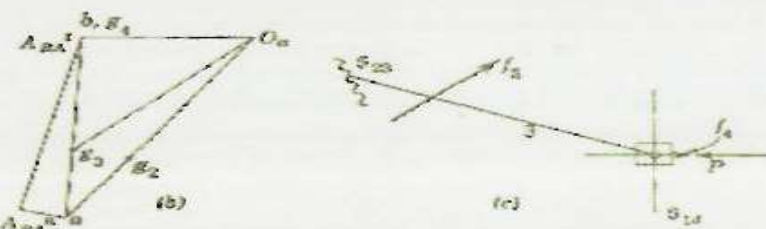
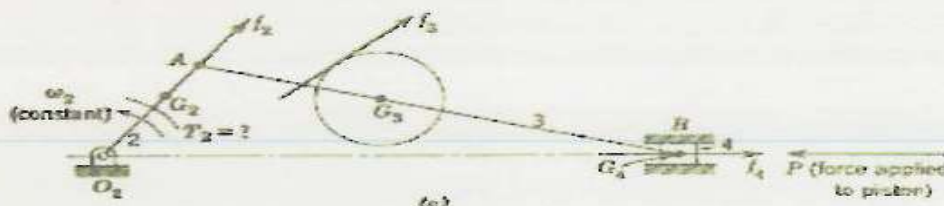
$$k_3 = \frac{I_3 \alpha_3}{M_3 A_{G_3}} = \frac{I_3 \alpha_4}{M_3 A_{G_3}},$$

# ANALIS GAYA DINAMIS

## 1. INNTRODUKSI.

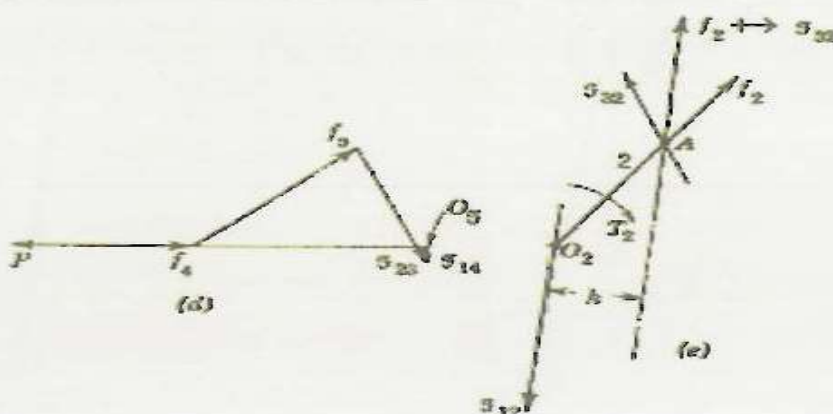
Analisis gaya dinamis adalah analisi gaya yang terjadi pada komponen mesin sebagai gabungan dari gaya luar dan gaya inersia akibat gerakan mesin.

## 2. Mekanisme slider-crank dengan gaya Inersia dan gaya luar



(c)

Diketahui gaya  $P$  bekerja pada piston, dan link dua berputar ccw-konstan. Ditanyakan besar Torsi yang terjadi pada link 2 dengan memperhitungkan gaya-gaya inersia yang terjadi pada masing-masing link?



(e)

Metode free body dapat juga diterapkan untuk beberapa link sekaligus, dalam hal ini sbagai contoh yaitu link 3 dan link 4 diperlakukan sebagai satu kesatuan, sehingga perhitungan kesetimbangan dilakukan terhadap gaya luar thd kedua link

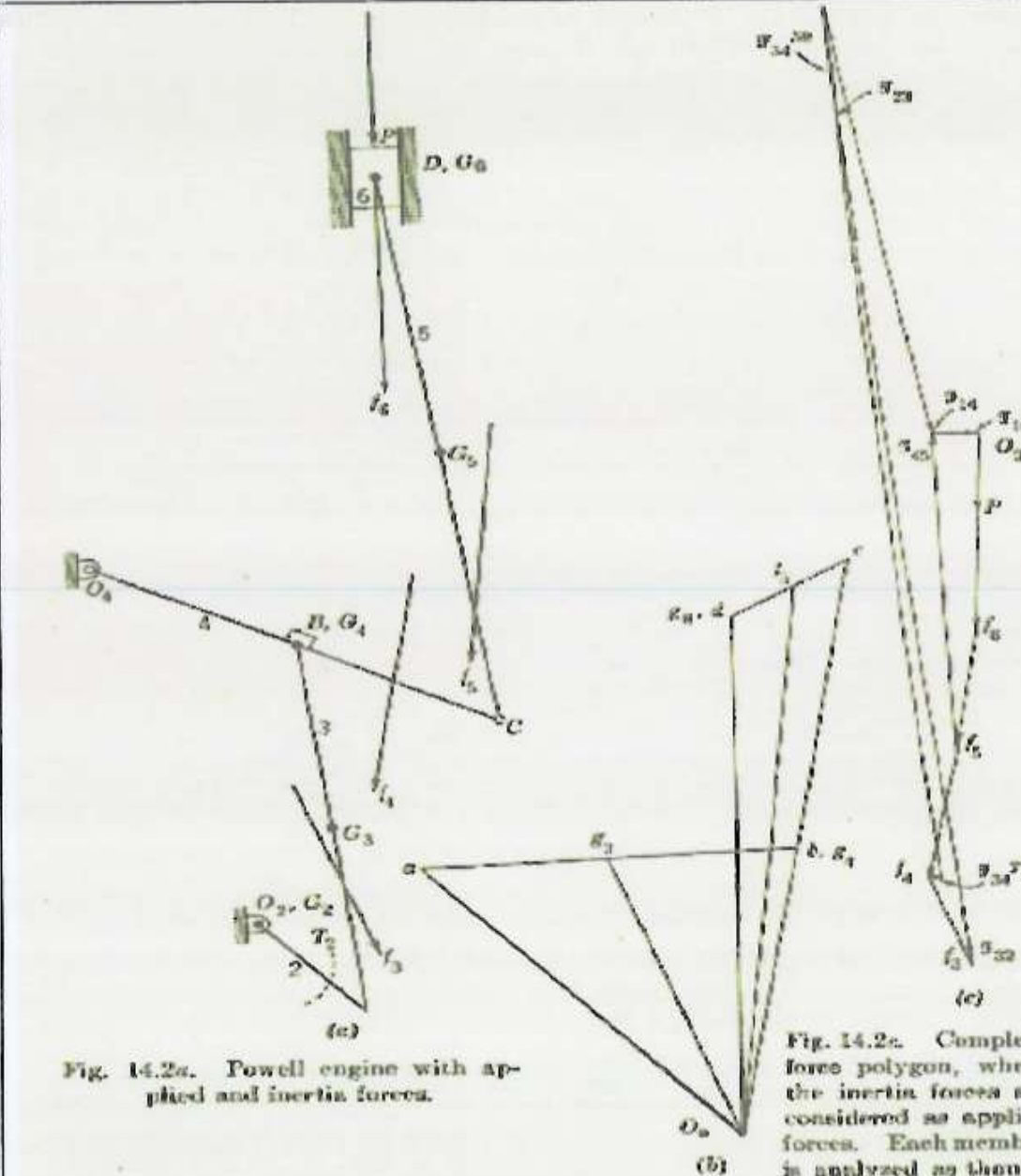
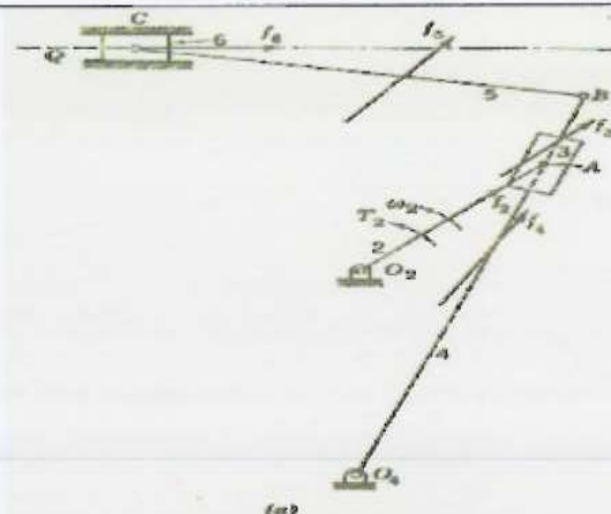


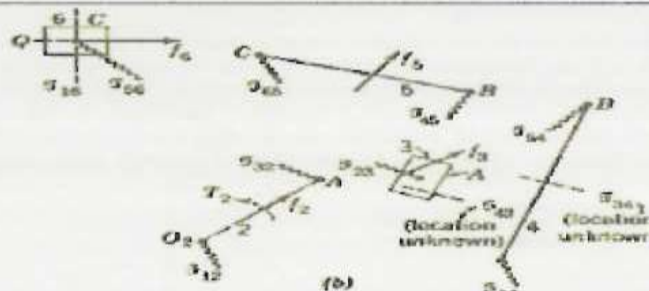
Fig. 14.2a. Powell engine with applied and inertia forces.

Fig. 14.2c. Complete force polygon, where the inertia forces are considered as applied forces. Each member is analyzed as though

Diketahui gaya P bekerja pada link 6. Dengan asumsi analisis percepatan sudah dilakukan dan poligon percepatan telah diperlihatkan pada gambar tengah. Dari poligon kpercepatan tersebut telah dihitung gaya inersia masing-masing link yaitu  $f_1$  sampai  $f_6$  telah dihitung . Diagram poligon gaya diperlihatkan pada gambar sebelah kanan

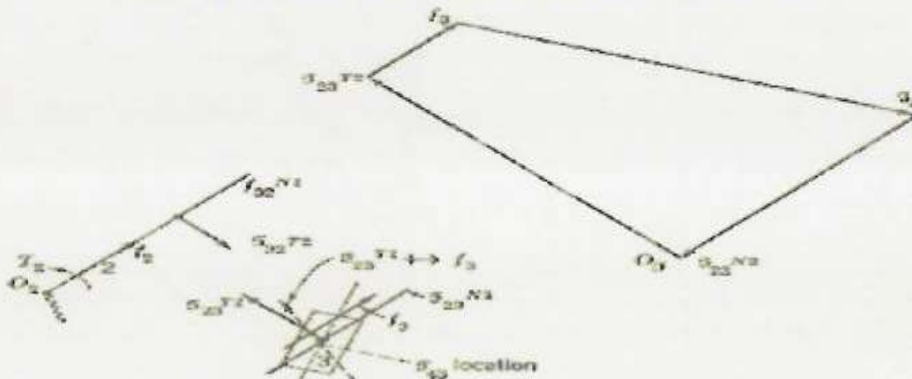


(a)



(b)

Fig. 14.3b. Free body diagrams for each isolated link.



Pada mekanisme mesin skrap disamping, diketahui putaran dan torsi yang bekerja pada link 2. Ditanyakan besar gaya Q yang dihasilkan pada pada link 6

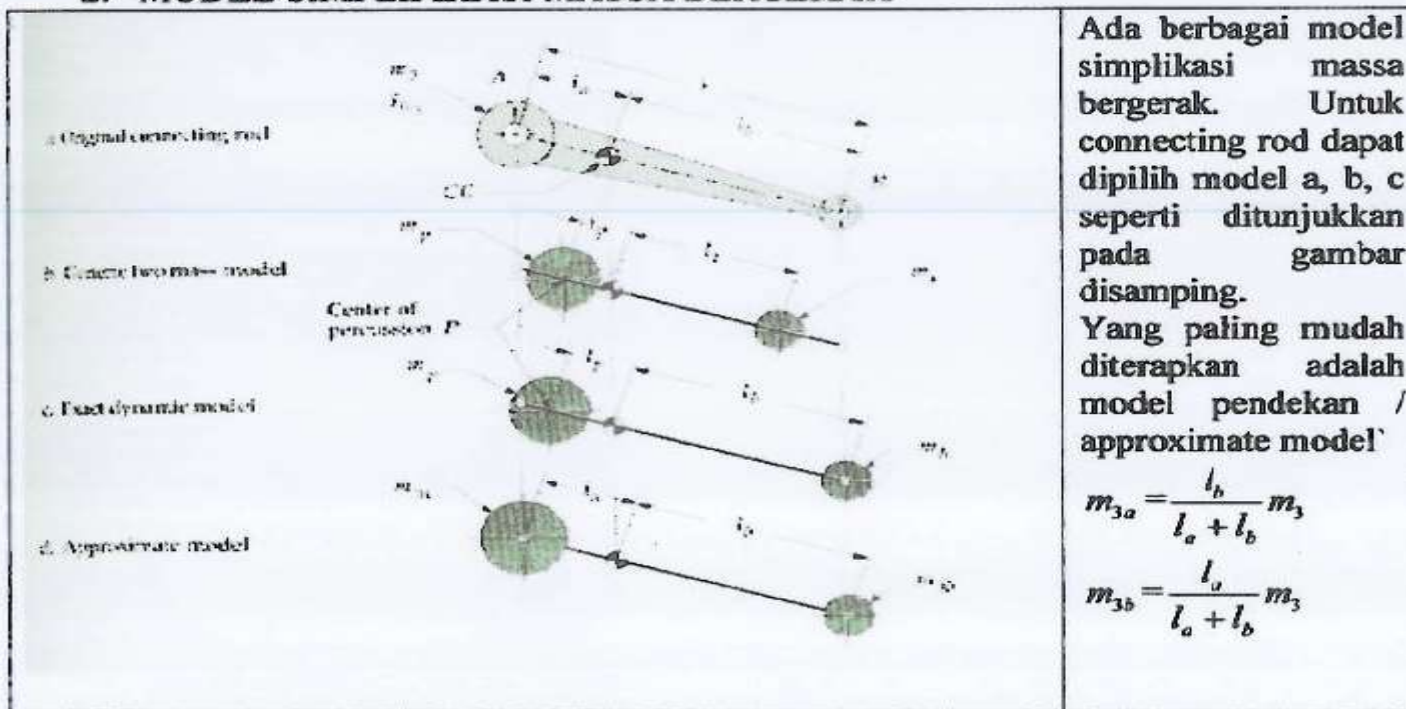
Gambar disamping menunjukkan analisis free body tiap link. Pertama dapat dilakukan analisis pada link 2 dst

## ANALIS GAYA DINAMIS PADA MEKANISME ENGKOL-TORAK (MOTOR/KOMPRESSOR TORAK)

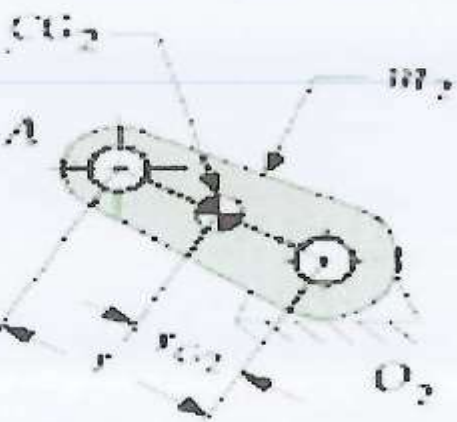
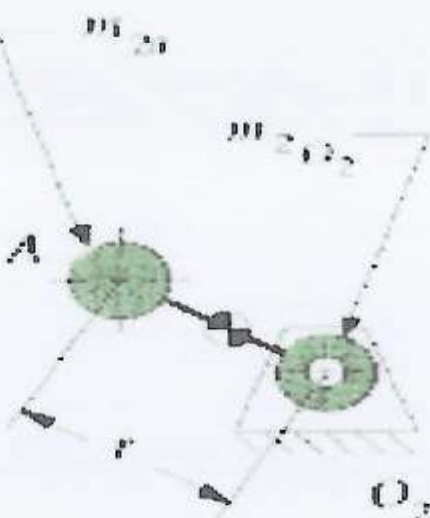
### 1. INTRODUKSI

Analisis gaya dinamis dengan metode free body yang telah dipelajari hanya berlaku "sesaat" yaitu pada kedudukan seluruh mekanisme seperti tergambar. Untuk menganalisis gaya inersia pada seluruh kedudukan akan sangat sulit dan memakan banyak waktu. Oleh karena itu perlu dipelajari metode yang lebih sederhana dan berlaku untuk seluruh kedudukan, dengan melakukan simplifikasi massa bergerak, yaitu dengan asumsi motor torak hanya terdiri dari dua massa bergerak yaitu massa berputar dan massa bolak-balik.

### 2. MODEL SIMPLIFIKASI MASSA BERGERAK



Gambar 4.1. Model Simplifikasi Massa Connecting Rod

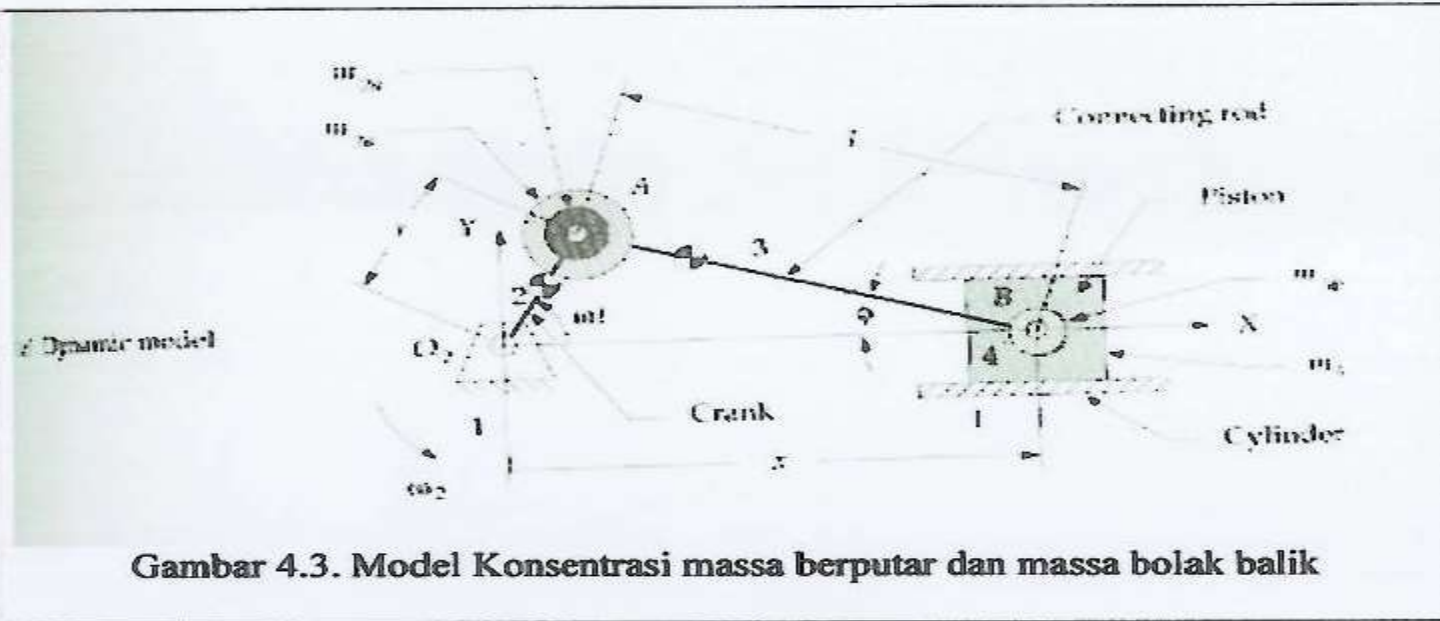


Demikian juga dengan poros engkol, dengan menggunakan approximate model diperoleh:

$$m_{2a} = \frac{r_{G2}}{r} m_2$$

$$m_{2O_2} = \frac{r - r_{G2}}{r} m_2$$

Gambar 4.2. Model Simplifikasi Massa Engkol/Crank



Gambar 4.3. Model Konsentrasi massa berputar dan massa bolak-balik

Pada akhirnya motor torak hanya terdiri dari dua massa bergerak yaitu massa berputar  $m_r$  yang terpusat pada pena engkol, dan massa bolak-balik  $m_t$  terpusat pada pena piston.

$$m_r = m_{2a} + m_{3a}$$

$$m_t = m_{3b} + m_4$$

$m_2$  = massa engkol

$m_3$  = massa connecting rod

$m_4$  = massa piston

$m_r$  = massa berputar

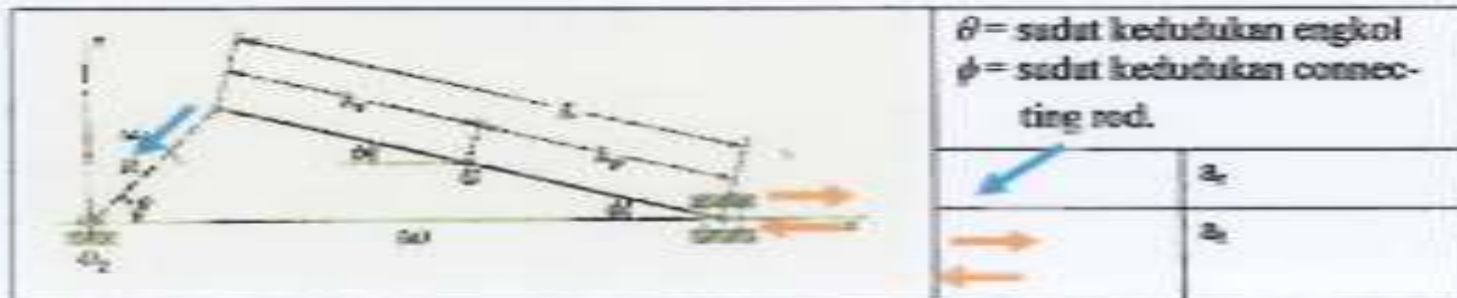
$m_t$  = massa bolak-balik

$m_{2a}$  = bagian massa engkol yg dianggap terpusat pada pena engkol.

$m_{3a}$  = bagian massa connecting rod yang dianggap terpusat pada pena engkol

$m_{3b}$  = bagian massa connecting rod yang dianggap terpusat pada pena engkol

### 3. Analisis Percepatan pada Motor Torak



Gambar 4.4. Sket Mekanisme Motor Torak satu silinder

#### a. Percepatan massa berputar

Bila engkol berputar dengan kecepatan sudut konstan  $\omega_1$ , maka percepatan massa berputar adalah :

$$a_r = r\omega_1^2 \quad \text{dengan arah sentripetal, atau menuju pusat perputaran.}$$

#### b. Percepatan massa bolak-balik

Percepatan massa bolak-balik diturunkan dari kecepatan, dan kecepatan diturunkan dari prpindahan:

$$a_r = \frac{dv}{dt} \quad \text{dan} \quad v = \frac{dx}{dt}$$

$x$  = perpindahan piston

Dari gambar diatas terlihat :

$$x = (r+l) - (r \cos \theta + l \cos \phi) \dots \dots \dots (1)$$

Dari gambar 4.4. dapat diperoleh:

$$r \sin \theta = l \sin \phi,$$

$$\sin \phi = \frac{r}{l} \sin \theta$$

Comment: Perpindahan sbg fungsi perpindahan sudut engkol dan sudut connecting rod. Dapat dijadikan fungsi perpindahan sudut engkol saja, karena geraknya lebih sederhana.

Sudah diketahui :

$$\cos \phi = \sqrt{1 - \sin^2 \phi} = \sqrt{1 - \left(\frac{r}{l}\right)^2 \sin^2 \theta} = \left(1 - \frac{r^2}{l^2} \sin^2 \theta\right)^{\frac{1}{2}} \dots\dots\dots(2)$$

$\left(1 - \frac{r^2}{l^2} \sin^2 \theta\right)^{\frac{1}{2}}$ , mengikuti model binomial  $(a+b)^n$

Dalam hal ini :

$$a = 1; \quad b = -\frac{r^2}{l^2} \sin^2 \theta; \quad \text{dan } n = \frac{1}{2}$$

Sedangkan model binomial dapat diuraikan kedalam deret binomial Newton berikut:

$$(a+b)^n = a^n b^0 + \frac{n a^{n-1} b^1}{1!} + \frac{n(n-1) a^{n-2} b^2}{2!} \\ + \frac{n(n-1)(n-2) a^{n-3} b^3}{3!} + \dots + \frac{n! a^{n-n} b^n}{n!}$$

$$\left(1 - \frac{r^2}{l^2} \sin^2 \theta\right)^{\frac{1}{2}} = 1^{\frac{1}{2}} \left(-\frac{r^2}{l^2} \sin^2 \theta\right)^0 + \left(\frac{1}{2}\right) 1^{\frac{1}{2}-1} \frac{1}{1!} \left(-\frac{r^2}{l^2} \sin^2 \theta\right)^1 \\ + \left(\frac{1}{2}\right)\left(\frac{1}{2}-1\right) 1^{\frac{1}{2}-2} \frac{1}{2!} \left(-\frac{r^2}{l^2} \sin^2 \theta\right)^2 + \dots$$

$$= 1 - \frac{1}{2} \frac{r^2}{l^2} \sin^2 \theta - \frac{1}{8} \frac{r^4}{l^4} \sin^4 \theta + \dots$$

Karena  $\frac{r}{l}$  kurang dari 1, biasanya antara  $\frac{1}{5}$  sampai  $\frac{1}{3}$ , maka harga harga suku  $\frac{1}{8} \frac{r^4}{l^4} \sin^4 \theta$ , cukup kecil, dan untuk sementara diabaikan dulu, maka diperoleh :

$$(1 - \frac{r^2}{l^2} \sin^2 \theta)^{\frac{1}{2}} = 1 - \frac{1}{2} \frac{r^2}{l^2} \sin^2 \theta + \dots$$

Atau

$$\cos \phi = 1 - \frac{1}{2} \frac{r^2}{l^2} \sin^2 \theta + \dots \quad (3)$$

Subsitusikan (3) kedalam (1) diperoleh :

$$x = (r+l) - (r \cos \theta + l \cos \phi)$$

$$x = (r+l) - (r \cos \theta + l(1 - \frac{1}{2} \frac{r^2}{l^2} \sin^2 \theta) + \dots)$$

$$\begin{aligned} v &= \frac{dx}{dt} = \frac{d}{dt} ((r+l) - (r \cos \theta + l(1 - \frac{1}{2} \frac{r^2}{l^2} \sin^2 \theta) + \dots)) \\ &= (0) - (-r \sin \theta \frac{d\theta}{dt} + l(0 - \frac{1}{2} \frac{r^2}{l^2} 2 \sin \theta \cos \theta \frac{d\theta}{dt}) + \dots) \end{aligned}$$

Catatan :  $2 \sin \theta \cos \theta = \sin 2\theta$

$$\text{Dan } \frac{d\theta}{dt} = \omega$$

Maka

$$v = (r \sin \theta + \frac{1}{2} \frac{r^2}{l} \sin 2\theta) + \dots \omega$$

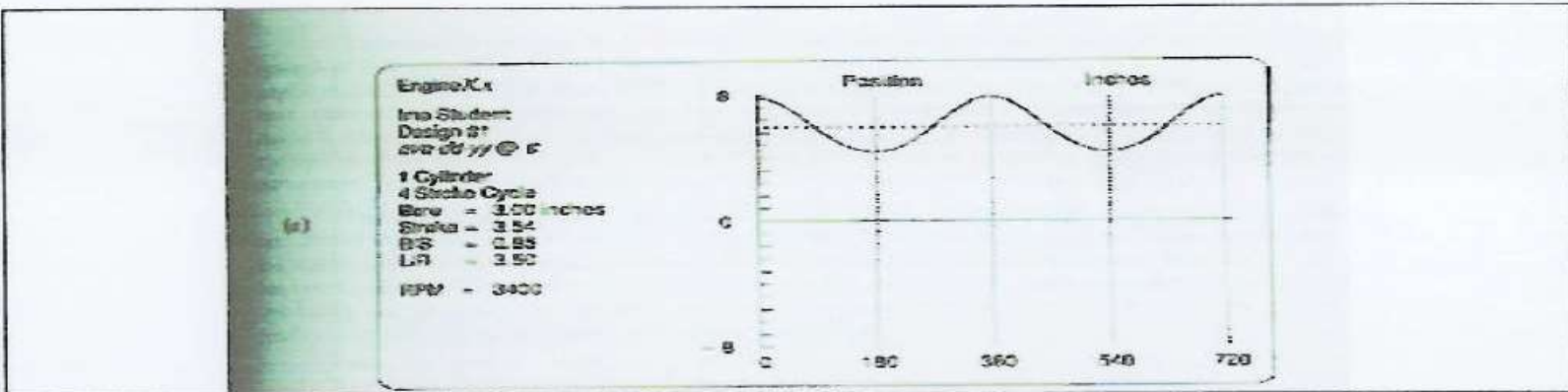
$$\alpha_r = \frac{dv}{dt} = \frac{d}{dt} (r \sin \theta + \frac{1}{2} \frac{r^2}{l} \sin 2\theta) + \dots \omega$$

$$= (r \cos \theta \frac{d\theta}{dt} + \frac{2}{2} \frac{r^2}{l} \cos 2\theta \frac{d\theta}{dt}) + \dots \omega$$

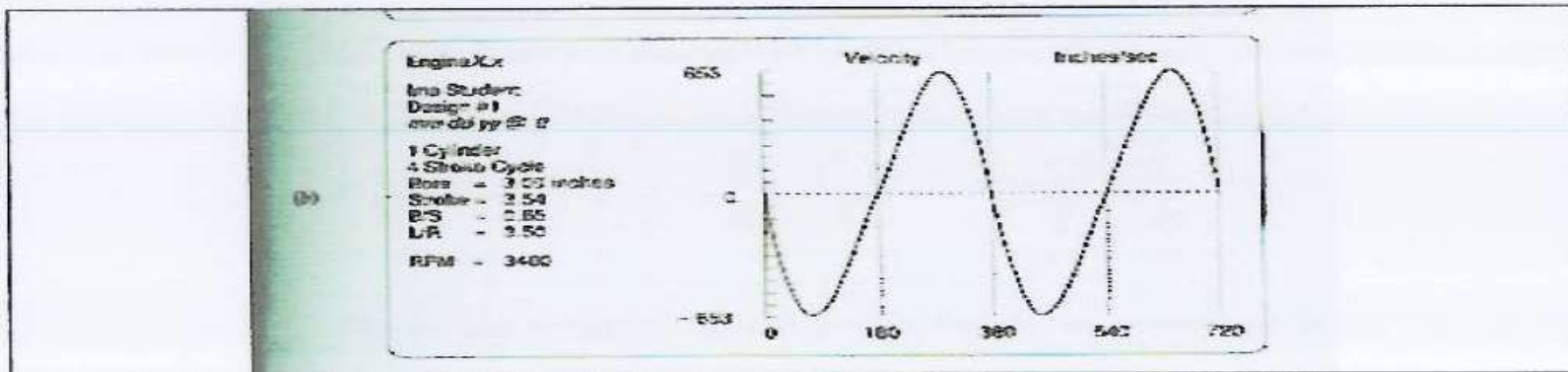
$$= (r \cos \theta + \frac{r^2}{l} \cos 2\theta) + \dots \omega^2$$

$$\alpha_r = r \omega^2 (\cos \theta + \frac{r}{l} \cos 2\theta + \dots)$$

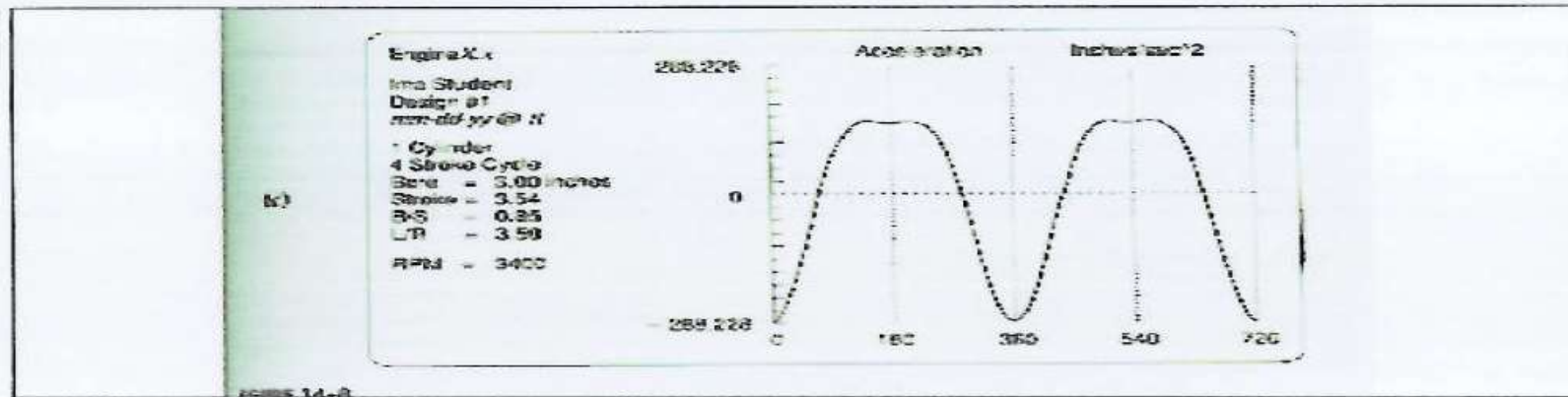
Grafik perpindahan, kecepatan dan percepatan massa bolak-balik yang terpusat pada piston pin ditunjukkan pada gambar berikut;



Gambar 4.5. Perpindahan Piston Terhadap Sudut Engkol



Gambar 4.6. Grafik Percepatan Piston terhadap sudut engkol



Gambar 4.7. Grafik Percepatan terhadap sudut engkol

## 4. GAYA INERSIA

Telah dipelajari sebelumnya bahwa gaya inersia adalah

$$F_i = -ma$$

### a. Gaya inersia akibat massa yang berputar :

$$F_r = -m_r a_r$$

$$F_r = -m_r r\omega^2$$

$F_r$  = gaya inersia akibat massa berputar

= lebih dikenal dengan gaya sentrifugal

- = berarti arah gaya berlawanan dengan arah percepatan  $r\omega^2$  sentripetal

Dengan asumsi kecepatan sudut  $\omega$  konstan, maka besar  $F_r$  juga konstan, tapi arahnya selalu berubah sesuai kedudukan engkol (sentri Fugal)

Namun Gaya  $F_r$  dapat diuraikan terhadap sumbu serah dengan sumbu silinder

$F_{rx}$  dan tegak lurus terhadap sumbu silinder  $F_{ry}$ , dan nilainya masing-masing:

$$F_{rx} = F_r \cos \theta = -m_r r\omega^2 \cos \theta, \text{ dan}$$

$$F_{ry} = F_r \sin \theta = -m_r r\omega^2 \sin \theta, \text{ kedua komponen gaya :}$$

$F_{rx}$  dan  $F_{ry}$  ini dapat digambarkan pada grafik antara  $F_{rx}$  terhadap sudut engkon, dan antara  $F_{ry}$  terhadap sudut engkol sebagai grafik cosinus dan grafik sinus dengan amplitudo sebesar  $m_r r\omega^2$ .

b. Gaya inersia akibat massa yang bolak-balik :

$$F_i = -m_i a_i$$

$$F_i = -m_i r \omega^2 \left( \cos \theta + \frac{r}{l} \cos 2\theta + \dots \right)$$

Gaya Inersia diatas dapat diuraikan menjadi :

$$F_d = -m_i r \omega^2 (\cos \theta)$$

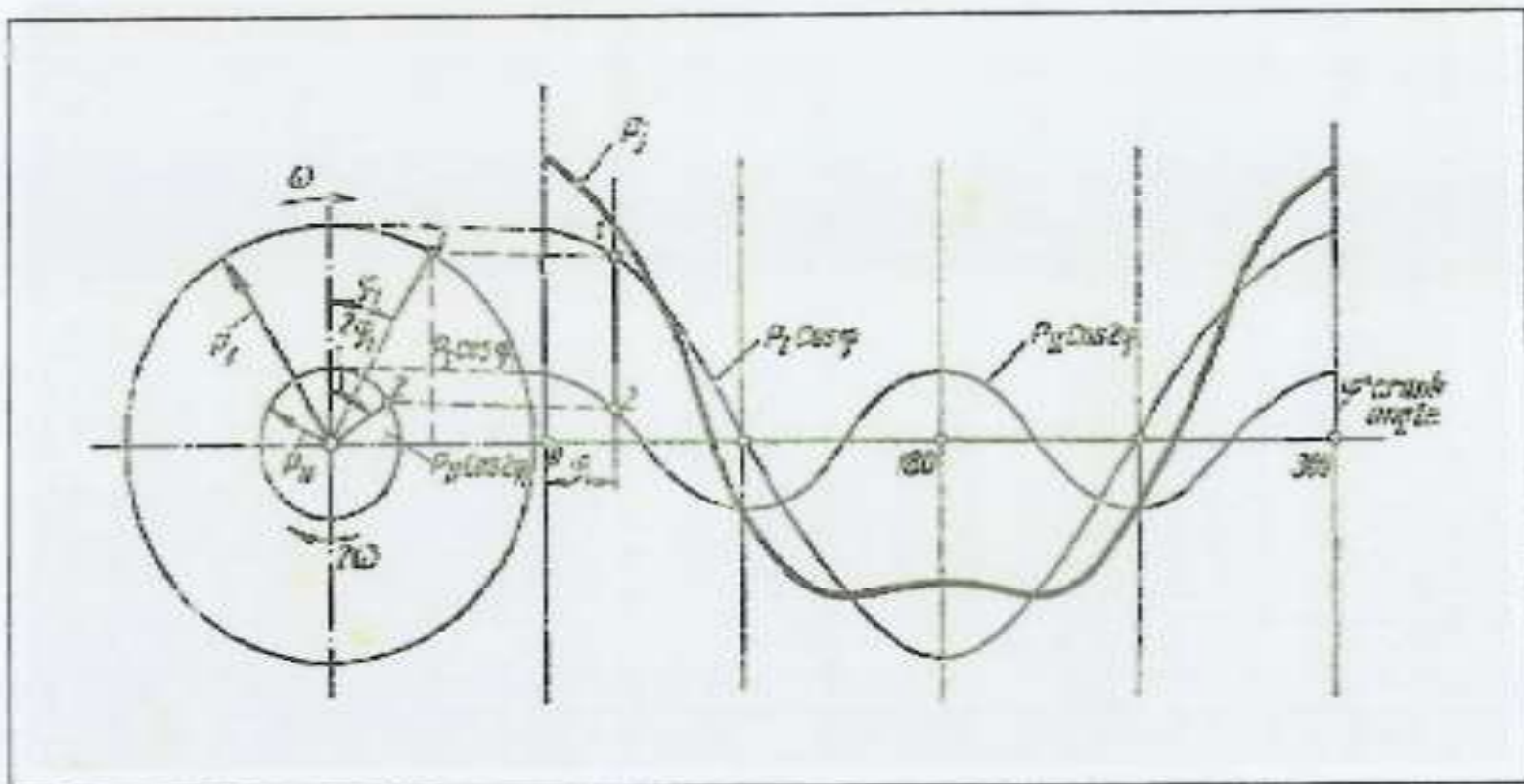
$$F_m = -m_i r \omega^2 \left( \frac{r}{l} \cos 2\theta \right)$$

$$F_i = F_d + F_m$$

$F_d$  = gaya inersia akibat massa bolak balik orde I

$F_m$  = gaya inersia akibat massa bolak balik orde II

Gaya inersia akibat massa bolak balik tersebut dapat diperlihatkan pada gambar 4.8 berikut:



Gambar 4.8. Grafik Gaya Inersia akibat massa bolak balik terhadap sudut engkol

## 5. GAYA KOCOK (SHAKING FORCE)

Resultan gaya inersia akibat massa berputar dan akibat massa bolak balik disebut gaya kocok atau Shaking Force. Shaking Force ini dapat digambarkan dalam satu diagram yang disebut diagram Polar.

Besar shaking force penjumlahan secara vektor antara  $F_r$  dan  $F_t$  sebagi berikut:

$$F_{Sh} = \vec{F}_r + \vec{F}_t$$

$$= \vec{F}_r + \vec{F}_d + \vec{F}_{mI} \quad (\text{tanpa counter balance})$$

$$F_{Sh} = \vec{F}_r + \vec{F}_d + \vec{F}_{mI} + \vec{F}_{cb} \quad (\text{dengan counter balance})$$

Telah diketahui :

$$F_r = -m_r r \omega^2$$

$$F_d = -m_t r \omega^2 (\cos \theta)$$

$$F_{mI} = -m_I r \omega^2 \left( \frac{r}{l} \cos 2\theta \right)$$

$$\vec{F}_{cb} = m_{cb} r_{cb} \omega^2$$

$$\vec{F}_{cb} = \text{gaya counter balance}$$

$$m_{cb} = \text{massa counter balance}$$

$$r_{cb} = \text{jari-jari counter balance}$$

Diagram Polar digambarkan pada tiga lingkaran Co-centris dengan jari-jari lingkaran masing-masing:

$$r_1 = m_r r \omega^2$$

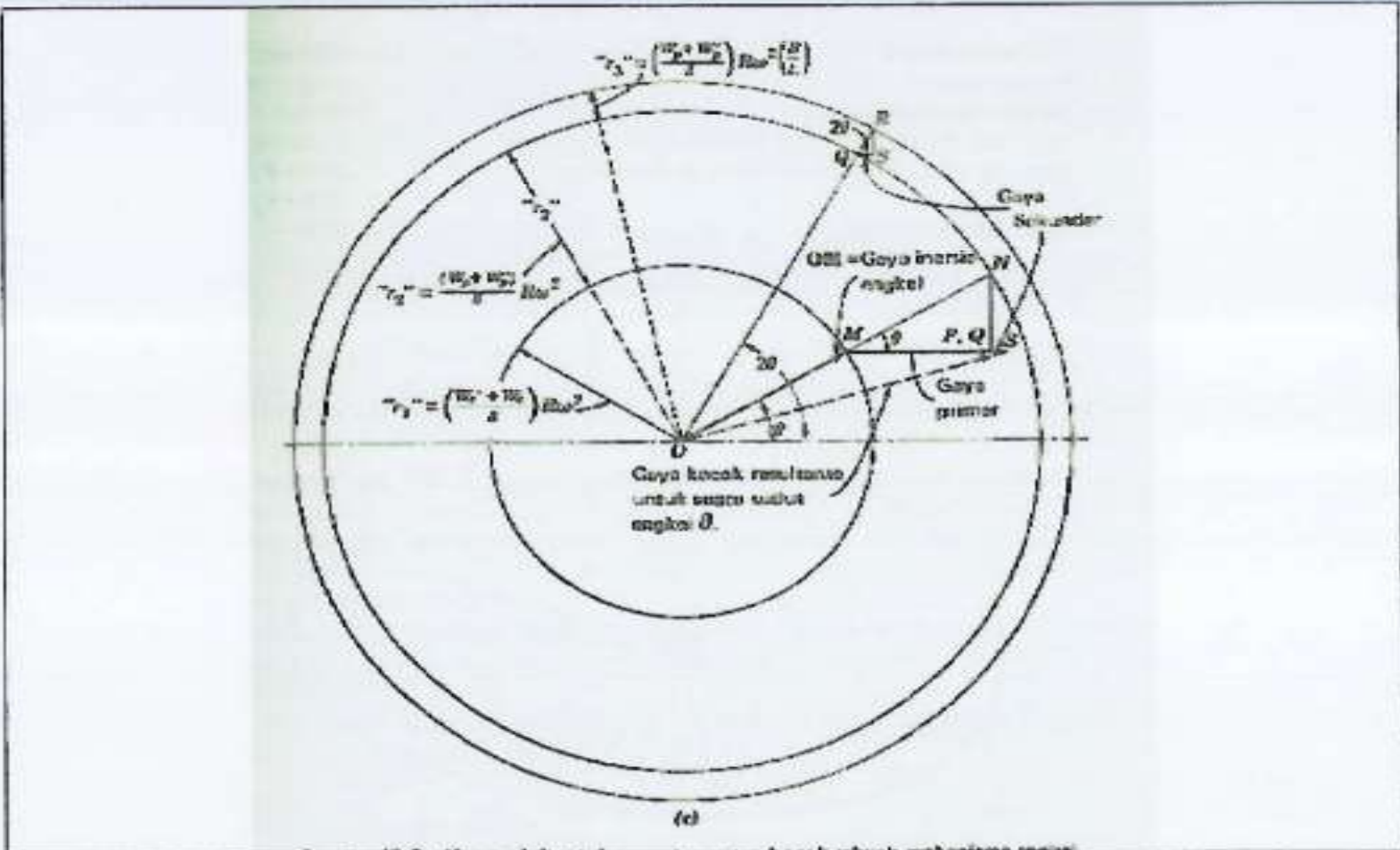
$$r_2 = m_r r \omega^2$$

$$r_3 = m_r r \omega^2 \left(\frac{r}{l}\right)$$

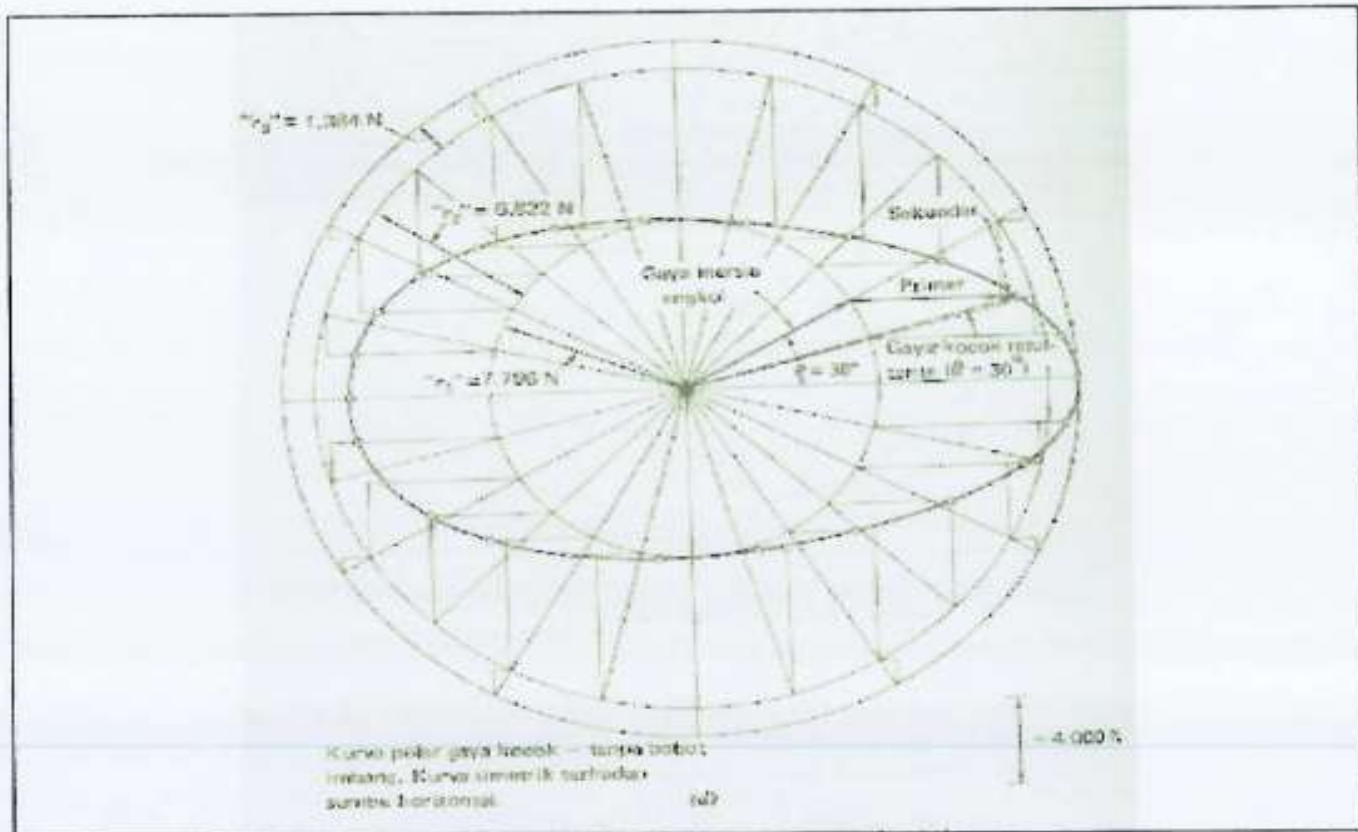
Metode pembuatan diagram gaya kocok diperlihatkan pada gambar 4.9 dan diagram gaya kocoknya pada gambar 4.10

Gaya kocok secara teknis merugikan; pertama karena akan mengurangi usia pakai komponen karena bersifat dinamis, kedua mengakibatkan ketidak nyamanan (merasa dikocok). Gaya kocok tersebut sedapat mungkin dihilangkan, atau paling tidak besarnya dikurangi.

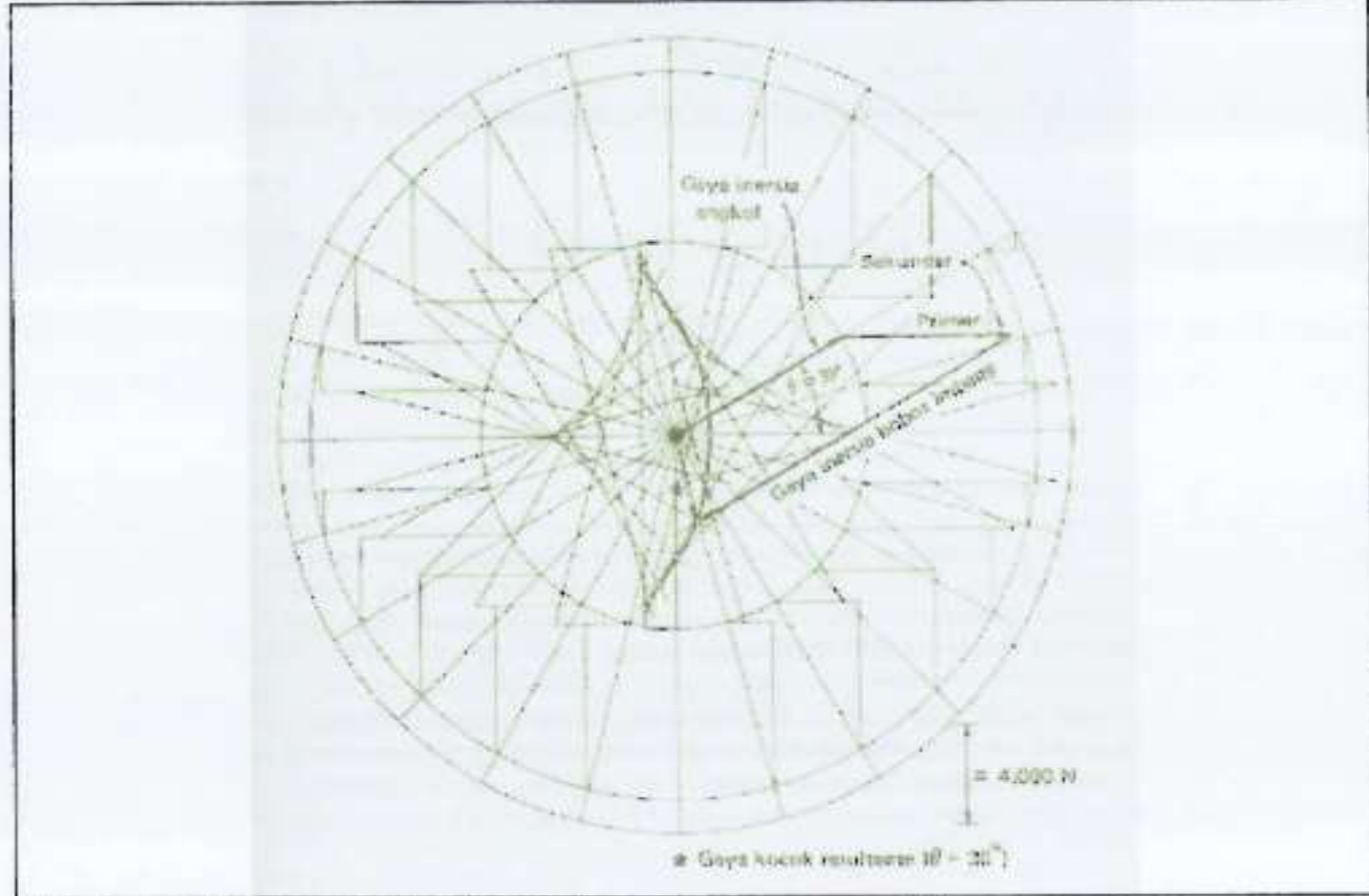
Salah satu cara adalah dengan memasang bobot imbang (counter balance) pada engkol yang posisinya bertentangan dengan posisi massa berputar. Pada saat berputar, massa counter balance akan menghasilkan gaya sentrifugal yang arahnya selalu berlawanan dengan gaya inersia akibat massa berputar. Dengan demikian besar gaya inersia dapat dikurangi.



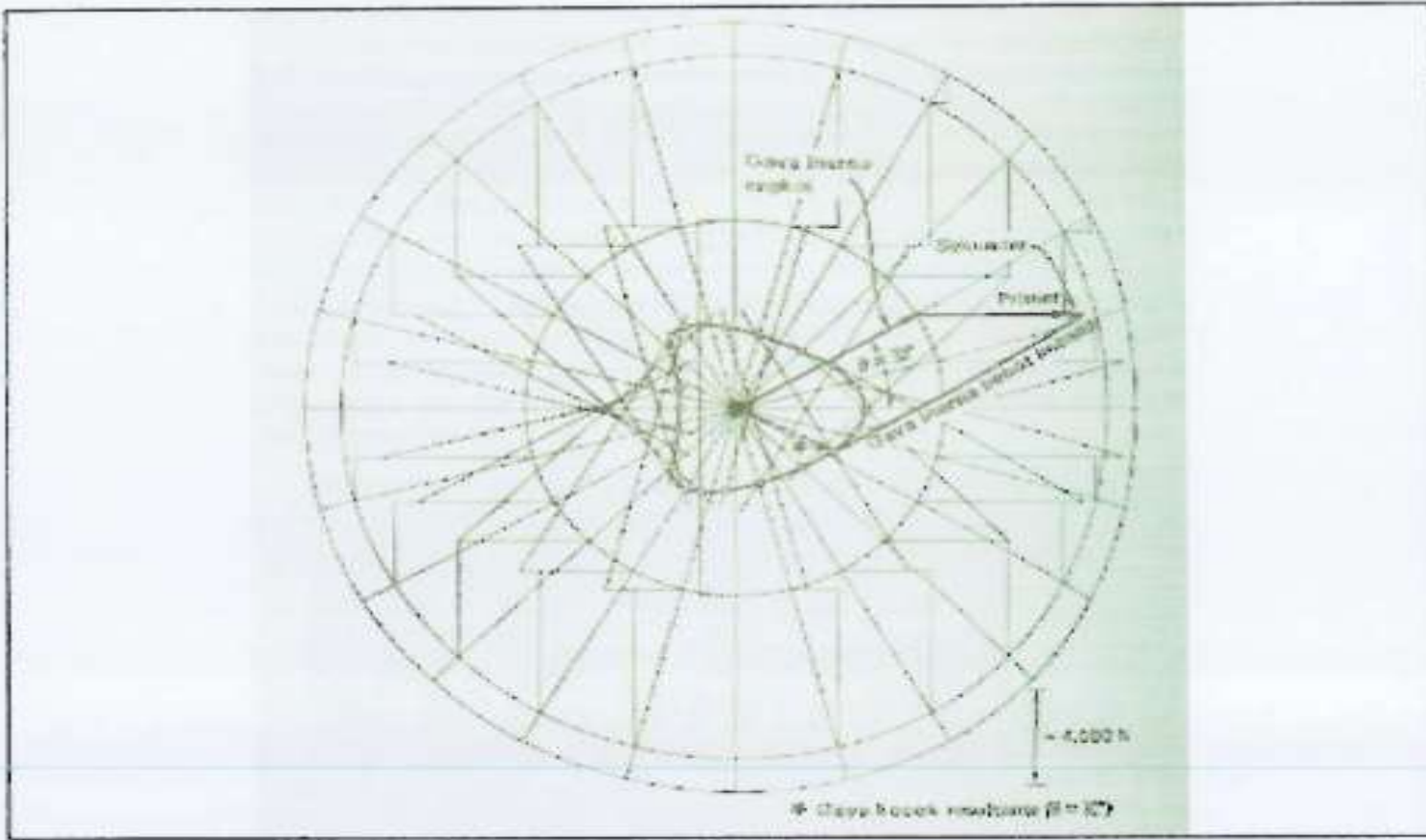
Gambar 4. 9. Metode pembuatan Diagram Polar



Gambar 4.10. Diagram Gaya kocok



Gambar 4.11. Diagram Gaya kocok dengan massa counter balance sama dengan  $m_r + m_t$



Gambar 4.12. Diagram Gaya kocok dengan massa counter balance sama dengan  $m_r + \frac{m_t}{2}$

Contoh Soal

Motor torak 1 selinder

$$\text{Putaran} = 3000 + (100 \times \text{Nomer Absen}) = 3000 + (100 \times 5) = 3500$$

Jari-jari Engkol = 10 cm

Panjang Conecting Road = 40 cm

CG engkol = 1/3 pivot

CG Conecting Rod = 1/3 crank whell

Massa engkol = 4 kg

Massa connecting rod = 3 kg

Massa piston = 2 kg

1. Lukis diagram gaya inersia akibat massa berputar terhadap sudut engkol.
2. Lukis diagram gaya inersia akibat massa bolak-balik terhadap sudut engkol
3. Diagram gaya kocok tanda counter balance, massa connecting rod

## PEMBAHASAN

$$w = 3200 \text{ rpm} \times 2\pi / 60 = 335,103 \text{ rad/det}$$

$$m_{2a} = 2/3 r \times m_2/r$$

$$= 2/3 \times 4 \text{ kg}$$

$$= 2,667 \text{ kg}$$

$$m_{3a} = 2/3 l \times m_2/l$$

$$= 2/3 \times 3 \text{ kg}$$

$$= 2 \text{ kg}$$

$$m_{3b} = 1/3 l \times m_2/l$$

$$= 1/3 \times 3 \text{ kg}$$

$$= 1 \text{ kg}$$

$$m_r = m_{2a} + m_{3a}$$

$$= 2,667 + 2$$

$$= 4,667 \text{ kg}$$

$$m_t = m_{3b} + m_4$$

$$= 1 + 2$$

$$= 3 \text{ kg}$$

$$m_2 = 4 \text{ kg}$$

$$m_3 = 3 \text{ kg}$$

$$m_4 = 2 \text{ kg}$$

$$l = 40 \text{ cm} = 0,04 \text{ m}$$

$$r = 10 \text{ cm} = 0,01 \text{ m}$$

$$v = 3200 \text{ rpm}$$

## 1. GAYA INERSIA AKIBAT MASSA BERPUTAR

$$F_t = -m r \omega^2$$

$$= -m r \cdot r \cdot \omega^2$$

$$= -4,667 \cdot 0,01335,103^2$$

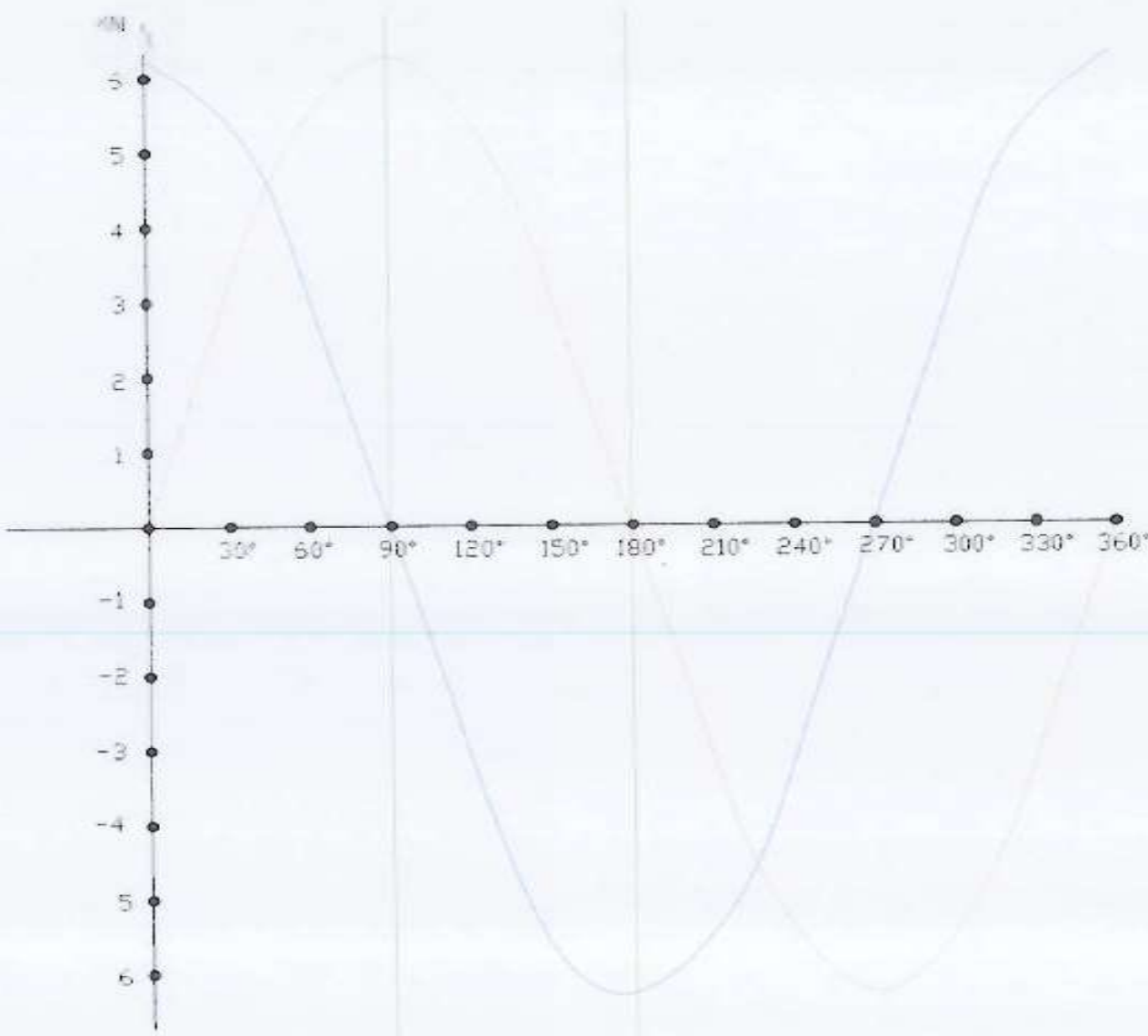
$$= -5,240,762 \text{ N} = -5,240 \text{ kN}$$

$$F_t = F_{tx} & F_{ty}$$

$$F_{tx} = F_t \cos \theta$$

$$F_{ty} = F_t \sin \theta$$

$\theta$	$0^\circ$	$30^\circ$	$60^\circ$	$90^\circ$	$120^\circ$	$150^\circ$	$180^\circ$	$210^\circ$	$240^\circ$	$270^\circ$	$300^\circ$	$330^\circ$	$360^\circ$
$F_t + I$	-4,030	-3,490	-2,015	0,000	2,015	3,490	4,030	3,490	2,015	0,000	-2,015	-3,490	-4,030
$F_t + II$	1,008	-0,504	-1,008	-0,504	0,504	1,008	0,504	-0,504	-1,008	-0,504	0,504	1,008	0,504
$F_t = (F + I) + (F + II)$	-3,023	-3,994	-3,023	-0,504	2,519	4,498	4,534	2,986	1,008	-0,504	-1,511	-2,483	-3,526



## 2. Gaya inertia akibat massa bolak-balik

$$F_t = -m\ddot{r} \cdot \dot{\theta}$$

$$= -m\ddot{r} \cdot r \omega^2 (\cos \theta + n/e \cos 2\theta + \dots)$$

$$= F_t I + F_t II$$
  
$$\theta \text{ KN}$$

$$* F_t II = -m\ddot{r} \cdot r \cdot \omega^2 \cos \theta$$

$$= -3 \cdot 0,01 \cdot 335,103^2 \cos \theta$$

$$= -3368,821 \cos \theta \text{ (N)} = -3,369 \cos \theta \text{ KN}$$

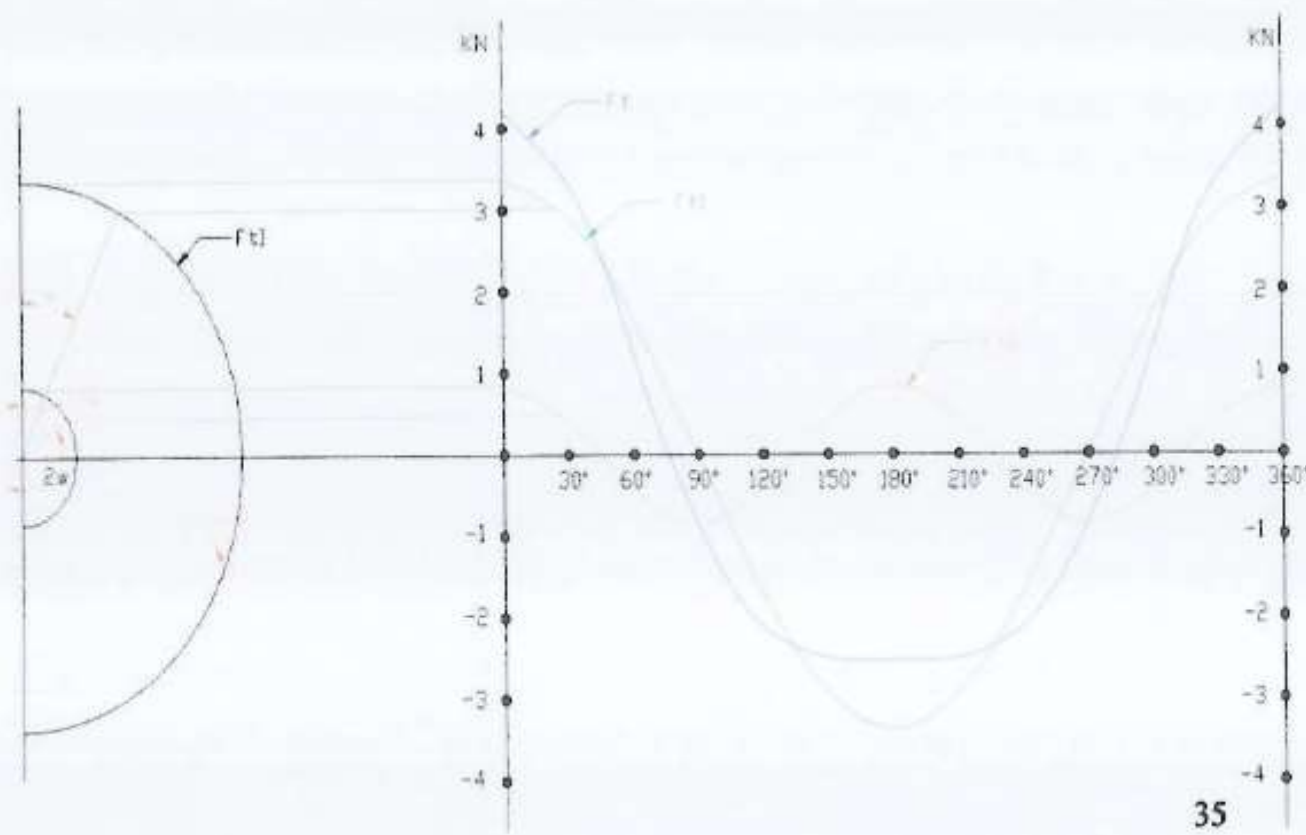
$$* F_t II$$
  
$$\cos 2\theta)$$

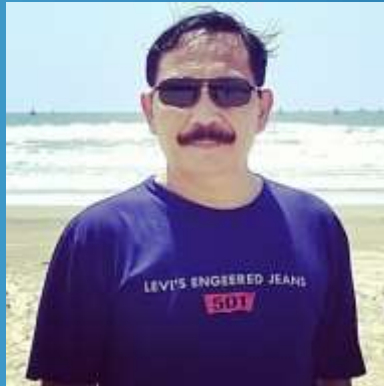
$$= -m\ddot{r} \cdot r \cdot \omega^2 (n/e \cos 2\theta)$$

$$= -3 \cdot 0,01 \cdot 335,103 (0,01/0,04$$

$$= -842,205 \cos 2\theta \text{ (N)}$$
$$= -0,842 \cos 2\theta \text{ (KN)}$$

$\theta$	0°	30°	60°	90°	120°	150°	180°	210°	240°	270°	300°	330°	360°
$F_{rx} = Fr \cos \theta$	6,269	5,429	3,135	0,000	-3,135	-5,429	-6,269	-5,429	-3,135	0,000	3,135	5,429	6,269
$F_{ry} = Fr \sin \theta$	0,000	3,135	5,429	6,269	5,429	3,135	0,000	-3,135	-5,429	-6,269	-5,429	-3,135	0,000





*Terimakasih  
Manfaat, .... hanya satu kata, Semoga  
Modul ini, ..... seperti kata itu.*

**DAFTAR NILAI  
SEMESTER GENAP REGULER TAHUN 2022/2023**

Program Studi : Teknik Mesin S1  
 Matakuliah : Dinamika Teknik  
 Kelas / Peserta : K  
 Perkuliahannya : Kampus ISTN Bumi Srengseng P2K - Kelas  
 Dosen : Achmad Husen, M.Sc. Ir.

Hal. 1/1

No	NIM	N A M A	ABSEN	TUGAS	UTS	UAS	MODEL	PRESENTASI	NA	HURUF
			10%	20%	30%	40%	0%	0%		
1	21214701	<b>Zefania Tiominar</b>	100	70	85	85	0	0	83.5	<b>A</b>
2	22214701	<b>Gilang Kurnia</b>	100	65	65	80	0	0	74.5	<b>B+</b>
3	22214702	<b>Evans Budypakoso</b>	100	65	50	80	0	0	70	<b>B</b>
4	22214704	<b>Biher Halomoan Sinaga</b>	100	0	80	0	0	0	0	

Rekapitulasi Nilai			
A 1	B+ 1	C+ 0	D+ 0
A- 0	B 1	C 0	D 0
	B- 0	C- 0	E 0

Jakarta, 20 August 2023

Dosen Pengajar

**Achmad Husen, M.Sc. Ir.**